

(HUANJING KEXUE)

# ENVIRONMENTAL SCIENCE

第39卷 第1期

Vol.39 No.1

2018

中国科学院生态环境研究中心 主办

科学出版社出版



## ENVIRONMENTAL SCIENCE

第39卷 第1期 2018年1月15日

## 目 次

2006~2015年北京市不同地区 O <sub>3</sub> 浓度变化············王占山,李云婷,安欣欣,李倩,孙乃迪,王步英,潘锦秀(1)南京北郊黑碳气溶胶的来源解析············肖思晗,于兴娜,朱彬,何镓祺,吕睿,沙丹丹(9)电镀厂周边大气 PM <sub>10</sub> 中重金属季节性分布特征及生态风险评价
2006~2015 年北京市不同地区 O, 浓度变化     王占山,李云婷,安欣欣,李倩,孙乃迪,王步英,潘锦秀( 1 )南京北郊黑碳气溶胶的来源解析
实际公司。
氨化松香基交联聚合树脂对水中诺氟沙星的吸附性能 ——马亚红,黄婉婷,刁开盛,李鹏飞,谭学才,董慧峪,覃方夸,雷福厚,刘绍刚(161)铁锰泥除砷颗粒吸附剂对As(V)的吸附去除 曾辉平,吕赛赛,杨航,尹灿,曹瑞华,王艳菊,李冬,张杰(170)水铁矿及其胶体对砷的吸附与吸附形态 马玉玲,马杰,陈雅丽,雷梅,郭华明,翁莉萍,李永涛(179)阳(阴)离子复配修饰两性磁性膨润土的表面特征差异及对苯酚吸附的影响 任爽,孟昭福,王腾,张洋,田凯,刘伟,闫东旭(187)典型城市污水中对羟基苯甲酸酯的污染特征 赵雪,张子峰,祝富杰,李一凡,马万里(195)水力停留时间对活性炭生物转盘处理污染河水的影响 许雯佳,成小英(202)环丙沙星对膜生物反应器运行效能的影响及其去除特性 戴琦,刘锐,舒小铭,张永明,陈吕军(212)AAO工艺低氧条件下的运行及其模拟 曹特特,王林,李咏梅(219)磷酸盐对亚硝化系统的抑制及恢复 顾澄伟,陈方敏,李祥,张程锦(227)碳源对污水处理厂 SAD 工艺小试的影响 李冬,赵世勋,王俊安,朱金凤,关宏伟,张杰(232)容积负荷对 ABR-MBR 工艺反硝化除磷性能的影响 李冬,赵世勋,王俊安,朱金凤,关宏伟,张杰(232)容积负荷对 ABR-MBR 工艺反硝化除磷性能的影响 李冬,赵世勋,王俊安,朱金凤,关宏伟,张杰(232)交替好氧/缺氧运行模式对生物脱氮效能及活性污泥胞外聚合物的影响
外洪伟,陈翠忠,吴长峰,赵华南,于雪,方晓航(256) 纳米零价铁对升流式颗粒污泥床反硝化性能的影响 ·············周丰,王翻翻,钱飞跃,黄慧敏,沈耀良,周建民(263) 高会周污泥匠菊消化中 Fo/S 及 pH 对原位机硫效率影响及其交互作用 ····································
等芸,曹玉芹,卓杨,王晓飞,韩雅婷,彭党聪(269) 浑河流域贮存污泥成分特征及演变规律分析
下の場所が相元音帳間人的切恋受化及兵利施風的响应: C-CO2
控源及改良措施对稻田土壤和水稻镉累积的影响 封文利,郭朝晖,史磊,肖细元,韩晓晴,冉洪珍,薛清华(399) 典型土壤双季稻对 Cd 吸收累积差异 李欣阳,龙坚,王树兵,陈齐,董霞,蒋凯,侯红波,彭佩钦,廖柏寒(406)
松花江上研兴及冯亚切开采区户事时万永分市得证。

# 有机氮替代比例对冬小麦/夏玉米轮作体系作物产量及N<sub>2</sub>O排放的影响

侯苗苗<sup>1</sup>,吕凤莲<sup>1</sup>,张弘弢<sup>1</sup>,周应田<sup>1</sup>,路国艳<sup>1</sup>,Ayaz Muhammad<sup>1</sup>,黎青慧<sup>2</sup>,杨学云<sup>1</sup>,张树兰<sup>1\*</sup> (1.西北农林科技大学资源环境学院,农业部西北植物营养与农业环境重点实验室,杨凌 712100; 2. 陕西省土肥站,西安 710003)

摘要: 控制农业温室气体排放(如 $N_2O$ )是减缓全球气候变暖的一个重要措施.本研究通过动态监测小麦-玉米轮作体系 $N_2O$ 排放通量,探究不施任何肥料(对照,CK)、单施氮磷钾化肥(NPK)、75% NPK +25% (有机氮 M) (25% M)、50% NPK +50% M (50% M)、25% NPK +75% M (75% M)以及 100% M,即不同有机氮替代比例对陕西关中塿土冬小麦/夏玉米轮作体系 $N_2O$ 排放及作物产量的影响.结果表明,各处理 $N_2O$ 排放通量在施肥、降雨或灌水后出现排放峰值.在小麦季各处理变化幅度为 - 1.33 ~ 144.2  $\mu$ g·( $m^2$ ·h)  $^{-1}$ ,其中 NPK 处理峰值最高.玉米季各处理变化幅度为 88.2 ~ 1800.1  $\mu$ g·( $m^2$ ·h)  $^{-1}$ ,50% M 处理峰值最高.小麦/玉米一个轮作年不同处理 $N_2O$ 排放总量为 429.8 ~ 2632.1 g·hm  $^{-2}$ ,且 50% M > 25% M > NPK > 75% M > 100% M > CK.无论小麦、玉米还是一个轮作年总产量,施肥处理产量均显著高于对照.小麦季,施用有机肥的处理小麦产量均显著高于单施化肥处理,增幅达 26.1% ~ 50.0%.玉米季,50% M 和 75% M 处理产量与 NPK 相似,而 25% M 和 100% M 处理玉米产量显著低于 NPK 处理.小麦/玉米轮作总产量变幅为9 166 ~ 17 496 kg·hm  $^{-2}$ ,其中 50% M 和 75% M 处理显著高于 NPK 处理,25% M 和 100% M 处理与 NPK 处理无显著差异.综合考虑塿土小麦/玉米轮作体系有机氮替代化肥氮 75% 最好,可以保证作物产量、实现 $N_2O$ 减排.

**关键词:**有机氮替代比例;冬小麦/夏玉米轮作体系;产量; $N_2$ O排放通量; $N_2$ O排放系数中图分类号: X16 文献标识码: A 文章编号: 0250-3301(2018)01-0321-10 **DOI**: 10.13227/j. hjkx. 201707010

# Effect of Organic Manure Substitution of Synthetic Nitrogen on Crop Yield and N<sub>2</sub>O Emission in the Winter Wheat-Summer Maize Rotation System

HOU Miao-miao¹, LÜ Feng-lian¹, ZHANG Hong-tao¹, ZHOU Ying-tian¹, LU Guo-yan¹, Ayaz Muhammad¹, LI Qing-hui², YANG Xue-yun¹, ZHANG Shu-lan¹\*

(1. Key Laboratory of Plant Nutrition and the Agro-environment in Northwest China, Ministry of Agriculture, College of Natural Resources and Environment, Northwest A&F University, Yangling 712100, China; 2. Shaanxi Station of Soil and Fertilizer, Xi'an 710003, China)

Abstract: Controlling agricultural greenhouse gas emissions, such as N<sub>2</sub>O, is important in mitigating global climate warming. Through monitoring the dynamics of N<sub>2</sub>O emission fluxes, we investigated the effect of organic nitrogen (N) substitution of synthetic N on N<sub>2</sub>O emissions and the yield of winter wheat and summer maize in the Guanzhong Plain of Shaanxi Province, China. The study involved six treatments, consisting of no fertilizer (CK), synthetic N, phosphorus (P), and potassium (K) fertilizers alone (NPK), 75% NPK+ 25% organic N through manure (25% M), 50% NPK + 50% organic N (50% M), 25% NPK + 75% organic N (75% M), 100% organic N (100% M). The results showed that the peak value of the N2O emission flux appeared after fertilization, rainfall, and irrigation. In the wheat season, the emission flux of N<sub>2</sub>O varied from -1.33 to 144.2 µg·(m²·h)<sup>-1</sup>, with the highest peak value in the NPK treatment. In the maize season, the emission flux of N<sub>2</sub>O varied from 88.2 to 1800.1 µg·(m²·h)<sup>-1</sup>, and the 50% M treatment showed the highest peak value. The range in the total amount of N2O emissions from the different treatments in the wheatmaize rotation system was 429. 8-2 632. 1 g $\cdot$ hm<sup>-2</sup>, and the amount for the treatments decreased in order as follows: 50% M > 25% M > NPK > 75% M > 100% M > CK. The yields of wheat, maize, or wheat plus maize were significantly higher in the fertilized treatments compared to the CK. Organic substitution treatments significantly increased wheat yield by 26.1% to 50.0% relative to the NPK treatment. While the maize yield in 50% M and 75% M treatments was similar to that in the NPK treatment, the 25% M and 100% M treatments showed significantly lower yields than with the NPK treatment. The total yield of wheat plus maize varied from 9 166 to 17 496 kg·hm<sup>-2</sup>, of which total yield was significantly higher with 50% M and 75% M compared to NPK. Overall, the 75% M treatment is the best measure to guarantee crop yield and to reduce N,O emissions in the wheat-maize rotation system based on a one

收稿日期: 2017-07-03; 修订日期: 2017-07-31

基金项目: 国家重点研发计划项目(2016YFD0800105)

**作者简介:** 侯苗苗(1991~),女,硕士研究生,主要研究方向为养分管理与环境,E-mail:houmiaomiao1208@163.com

<sup>\*</sup> 通信作者,E-mail:zhangshulan@nwafu.edu.cn

year study in the Guanzhong plain of Shaanxi Province.

Key words: organic nitrogen substitution; winter wheat-summer maize cropping system; yield;  $N_2O$  emission flux;  $N_2O$  emission coefficient

全球变暖和臭氧层的破坏使温室气体减排成为 研究和关注的热点[1]. IPCC 第四次评估报告表明: 农业源是温室气体重要排放源,其中N,O是旱地农 田温室气体的重要组成部分,其贡献率占人类活动 产生的N,O总量的58%以上[2]. 在我国因过量施氮 造成的N2O排放量为63万t,农业生产过程中排放 的N,O占全国N,O排放总量的92%[3]. 小麦/玉米 轮作,一年两熟制,是中国北方重要的农作物种植体 系之一,在保证国家粮食安全方面具有重要的地位. 调查显示小麦/玉米轮作体系大部分地区农民的施 氮量普遍超过 500 kg·hm<sup>-2[4]</sup>,如山东省小麦/玉米 轮作区平均施氮量为 553 kg·hm -2 [5],陕西关中灌 区,小麦/玉米轮作施氮量过高的农户分别占 38.5% 和64.7% [6]. 过量施氮不仅导致大量氮素在 土壤中残留<sup>[7]</sup>以及淋失<sup>[8,9]</sup>,同时也显著增加N<sub>2</sub>O排 放和其它气态氮损失[10]. 因此,十分有必要寻求合 理的养分管理措施在保证作物产量的情况下减少 N,O排放.

有机肥是保持土壤生产力和减少化肥施用的一 种传统而有效的方法,可以达到节约成本和增加养 分有效性的双重作用[11~14]. 由于来自不同动植物 的有机肥料成分不同,其施用到农田后对温室气体 排放的影响也存在着较大差异. 例如,有研究结果 表明施用有机肥能够增加甲烷的释放量,而化肥增 加N,O释放量[15]. 在等氮量情况下化肥配合有机肥 施用土壤N2O排放量大于单施化肥[16],但也有研究 表明两者相比N,O排放通量差异不显著[17]. 还有研 究指出,等氮施肥条件下施用猪粪相比施用化肥能 减少农田N,O的排放[18]. 而另有研究报道施用有机 肥较化肥增加土壤N,O累积的排放量[15]. 因此,在 特定气候以及土壤条件下,有机肥特别是有机氮替 代比例如何影响N,O排放需要进一步研究,这对建 立区域合理的养分管理措施,减少化肥投入量,维持 作物产量、同时减少温室气体排放有重要意义.

塿土是陕西关中灌区主要的土壤类型,主要的作物体系为小麦/玉米轮作,在 20 世纪 90 年代初建立了长期施肥定位试验,对土壤肥力演变、作物产量以及温室气体排放进行了研究<sup>[19~23]</sup>.但是上述长期定位试验中有机氮替代比例是固定的(70%),那么在塿土小麦/玉米轮作体系,合理的有机氮替代

比例是多少,可以维持作物高产并减少N<sub>2</sub>O排放,过去并没有研究报道.因此,结合国家减肥减排的号召以及保护环境,本研究探讨不同比例有机氮替代情况下小麦/玉米轮作作物产量以及N<sub>2</sub>O排放量的响应,以期为建立**埃**土区小麦/玉米轮作体系合理的养分管理措施提供理论支撑.

#### 1 材料与方法

#### 1.1 试验地点

本试验在"国家黄土肥力和肥料效益监测基地"进行,该基地位于陕西省杨凌区五泉镇孟家寨村(34.17′51″N,108.00′48″E),其海拔534 m、年平均气温12.9℃,年降水量为550~600 mm,降雨量主要集中在6~9月,小麦季降雨明显少于夏玉米季(图1). 年均蒸发量993 mm,无霜期184~216 d.属于暖温带大陆性季风气候. 土壤属土垫旱耕人为土,黄土母质. 试验开始时0~20 cm 土壤有机质含量是15.1 g·kg $^{-1}$ 、速效磷为10.1 mg·kg $^{-1}$ 、速效钾为165.6 mg·kg $^{-1}$ .

#### 1.2 试验设计

试验共6个处理,分别为:①不施任何肥料,对照(CK);②单施氮磷钾化肥(NPK);③75% NPK + 25% M 有机氮(25% M);④50% NPK + 50% M(50% M);⑤25% NPK + 75% M(75% M)以及⑥100% M(100% M).各处理具体施肥量见表 1,各施肥处理轮作年施氮量相同,均为 345 kg·hm $^{-2}$ ,有机肥的氮量分别为总施氮量的 25%、50%、75%、100%.每个处理 3 次重复,试验采用随机区组设计,共计 18个小区,试验小区面积为 30 m $^2$ (7.5 m×4 m).试验所用化肥氮为尿素,磷肥为过磷酸钙(含  $P_2O_5$ 12%),钾肥为硫酸钾(含  $K_2O$ 60%),有机肥为牛粪,所有处理有机肥及磷钾肥均于冬小麦播种前一次性基施,化肥于夏玉米拔节期前条施.

供试小麦和玉米品种分别是小偃 22 和郑丹 958,小麦在 2015 年 10 月 10 日播种,播种量为 135 kg·hm<sup>-2</sup>,2016 年 6 月 6 日收获;玉米在 2016 年 6 月 9 日播种,9 月 29 日收获每小区种植 8 行,行距为 55 cm. 另外,冬小麦于 2016 年 2 月 27 日灌水 66.7 mm,玉米季于 7 月 5 日施肥,7 月 7 日,8 月 12 日以及 8 月 24 日灌水,灌水量分别为 66.7 mm,

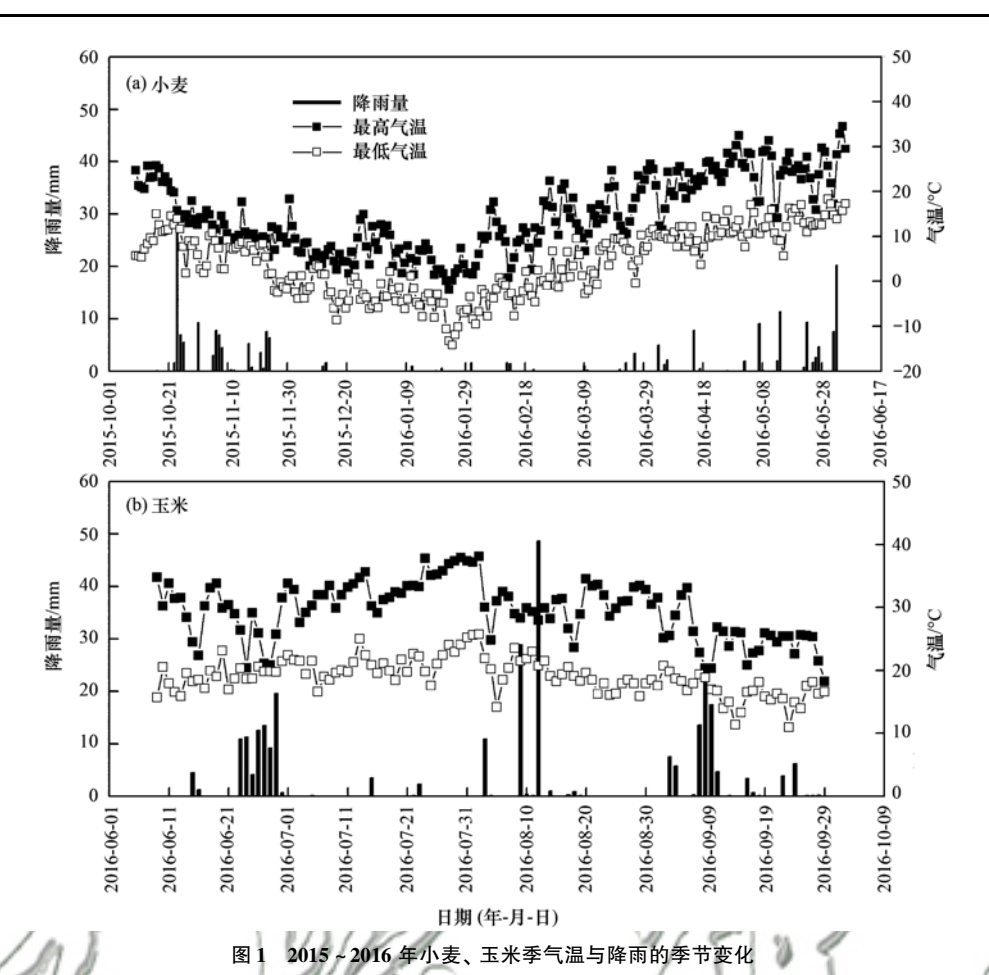


Fig. 1 Seasonal variations in temperature and precipitation in the wheat and maize growing seasons from Oct. 2015 to Sep. 2016

表 **1** 不同处理氮磷钾养分施肥量<sup>1)</sup> / kg·hm <sup>-2</sup>

 $Table \ 1 \quad Application \ rates \ of \ nitrogen \ (N) \ , \ phosphorus \ (P) \ , \ and \ potassium \ (K) \ with \ the \ different \ fertilization \ treatments/kg \cdot hm^{-2}$ 

处理	10	小麦季	玉米季					小麦+玉米		
处理/ / /	N	P	K	N	P	K	N	P	K	
CK /	0	0	0	0	0	0	0	0	0	
NPK	165	65. 5	75	180	0	0	345	65	75	
25% M	210	87. 5	77.8	135	0	0	345	87. 5	77. 8	
50% M	255	110. 1	79. 5	90	0	0	345	110. 1	79. 5	
75% M	300	131.6	82. 4	45	0	0	345	131.6	82. 4	
100% M	345	154. 2	84. 1	0	0	0	345	154. 2	84. 1	

1) CK、NPK、25% M、50% M、75% M 和 100% M 分别代表不施任何肥料对照、单施氮磷钾化肥、75% NPK + 25% M 有机肥、50% NPK + 50% M 有机肥、25% NPK + 75% M 有机肥以及 100% 有机肥,其中有机肥为牛粪,下同

83.3 mm 以及 66.7 mm. 作物生长期内施用除草剂和杀虫剂控制杂草和害虫. 收获期进行产量测定.

#### 1.3 气体采集与分析

 $N_2$ O排放通量测定采用静态箱-气相色谱法,采样箱使用不锈钢制作(50 cm×50 cm×50 cm),侧面有采气孔,外覆绝热材料,保证观测过程中箱内温度变化小于2°. 每个重复安装50 cm×50 cm×10 cm的底座,底座顶端为水槽. 作物播种后底座埋入作物行间,仅在作物收获时移开. 为了减少采样时对

土壤和作物的扰动,在采样点附近架设栈桥,当作物高度超过50 cm 时,增加中段箱提高箱体高度.每个采样点于上午09:00~11:00 采集气体,采样时,将采样箱罩在不锈钢底座上并用水密封,此时记为0时刻,用注射器连续收集0、15、30、45 min 这4个时刻的气体.为了更准确地估算N<sub>2</sub>O的排放总量,平时采气频率为一周一次,冬季为两周一次,施肥、灌溉、降雨后加大采样密度,每2日1次,直至排放速率趋于稳定.样品采集完毕后带回,使用气

相色谱仪(7890B,美国 Agilent 公司)测N<sub>2</sub>O浓度. 气相色谱采用氮气作载气,尾吹气为氩甲烷.

#### 1.4 土壤样品采集与分析

324

收集气体样品的同时,使用数字温度计(JM22L,天津今明仪器有限公司)测定土壤温度,土壤水分测定仪(ML3,英国 Delta-T 公司)测定体积含水量(0~5 cm),并利用土壤容重将其转换为土壤孔隙充水率[WFPS(%)],每个处理随机重复9次.作物生育期降水量、气温等资料采用国家杨凌气象站数据,气象站离试验点约3公里,海拔相同.

另外,每 2 周各小区采集 1 次土壤样品(0~20 cm)用于土壤水分、铵态氮( $NH_4^+$ -N)、硝态氮( $NO_3^-$ -N)的测定. 土壤水分采用烘干法测定, $NH_4^+$ -N 和  $NO_3^-$ -N 采用鲜土样品,用 1  $mol \cdot L^{-1}$  KCl 溶液(国药优级纯)浸提(液土比 4:1),并用连续流动分析仪(AA3,德国 SEAL 公司)测定.

#### 1.5 数据处理与分析

 $N_2$ O排放通量(F)的计算公式为:

$$F = k \times \frac{\mathrm{d}c}{\mathrm{d}t} \times \rho \times \frac{P}{P_0} \times \frac{T_0}{T} \times H \tag{1}$$

式中,F 为气体通量[ $\mu$ g·( $m^2$ ·h) $^{-1}$ ]; k 为单位换算系数; P 为采样点气压(kPa); T 为采样时空气的绝对温度(K); H 为采样箱高度(m);  $\rho$  为标准状态下( $T_0$  = 273 K, $P_0$  = 101.3 kPa) $N_2$ O 气体的密度(g·L $^{-1}$ ); dc/dt 为采样时气体浓度随时间的变化率.

采用公式(2)计算土壤充水孔隙度(WFPS).

WFPS = VSWC/(1 - BD/2.65) × 100% (2) 式中, VSWC 为土壤体积含水量(cm³·cm⁻³), BD 为 土壤 容重(g·cm⁻³), 并假定土壤密度为 2.65 (g·cm⁻³).

假定观测所得N<sub>2</sub>O排放速率为日排放速率的平均值,利用线性内插法估算未观测日的排放速率,逐日累加,估算N,O年排放量.

采用公式(3)计算 N<sub>2</sub>O 排放系数(EF<sub>4</sub>)

$$EF_d = (F_N - F_{CK})/N \times 100\%$$
 (3)  
式中, $F_N$ 和 $F_{CK}$ 分别为施肥和不施肥处理 $N_2$ O年排  
放 总 量(kg·hm<sup>-2</sup>) N 为 复 肥 施 田 量

放 总 量 ( $kg \cdot hm^{-2}$ ), N 为 氮 肥 施 用 量 [ $kg \cdot (hm^2 \cdot a)^{-1}$ ],包括尿素和牛粪. 另外, $N_2$ O排放总量除以作物产量计算出 $N_2$ O排放强度.

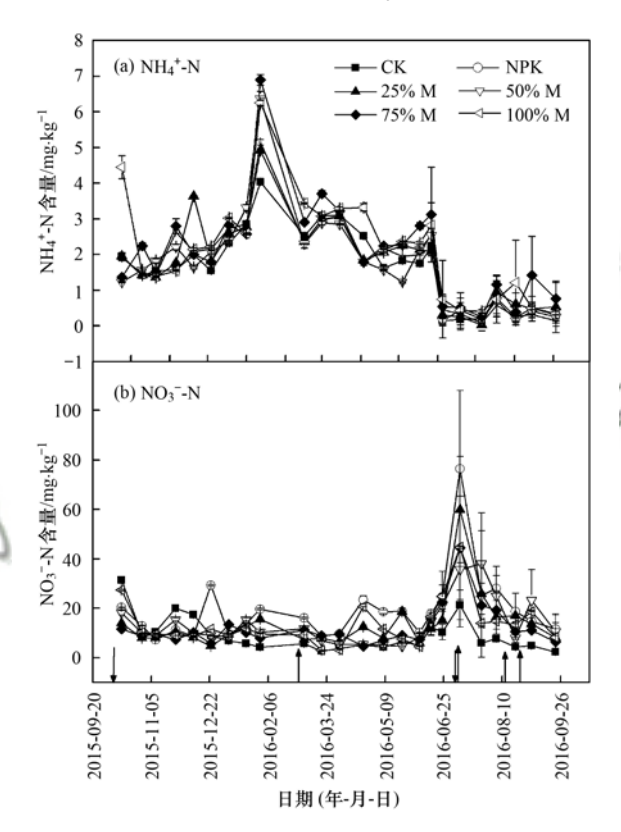
所有数据计算了平均值,并进行单因素方差分析,当方差分析显著时,进行了 LSD 多重比较. 另外,N<sub>2</sub>O排放与土壤环境因素进行了线性相关分析. 所有统计分析采用 SAS 16.0 软件进行.

#### 2 结果与分析

学

#### 2.1 土壤NH<sub>4</sub> -N、NO<sub>3</sub> -N含量的季节变化

图 2 为冬小麦/夏玉米轮作期土壤 NH<sup>+</sup>-N 和 NO<sub>3</sub><sup>-</sup>-N 的动态变化情况. 在小麦和玉米季,不施肥处理(CK)土壤中 NH<sub>4</sub><sup>+</sup>-N 和 NO<sub>3</sub><sup>-</sup>-N 含量最低、变化幅度最小(0.15~4.03 mg·kg<sup>-1</sup>和 2.24~31.45 mg·kg<sup>-1</sup>). 施肥处理土壤 NH<sub>4</sub><sup>+</sup>-N 和 NO<sub>3</sub><sup>-</sup>-N 含量均有较大的季节变化,分别在 0.03~6.9 mg·kg<sup>-1</sup>和 3.06~76.56 mg·kg<sup>-1</sup>之间. 同 CK 相比,施肥后土壤 NO<sub>3</sub><sup>-</sup>-N 的含量均显著增加. 其中 75% M 处理 NH<sub>4</sub><sup>+</sup>-N 含量最高, NPK 处理 NO<sub>3</sub><sup>-</sup>-N 的含量最高.



误差线代表标准差,下箭头表示施肥时间,上箭头表示灌溉,下同图 2 不同施肥处理  $0 \sim 20$  cm 土层 $\mathrm{NH_4^+-N, NO_3^--Nh}$  小的动态变化

Fig. 2 Seasonal variations in ammonium and nitrate nitrogen content in the 0-20 cm soil layer with different fertilization treatments

#### 2.2 土壤充水孔隙度与土壤温度的季节变化

小麦、玉米轮作期间,各处理土壤温度和土壤 孔隙充水率(WFPS)的变化如图 3 所示. 土壤 5 cm 温度变化范围为 - 0.075 ~ 27.55℃. 冬季温度最 低,春季温度回升,夏季温度达到最高. 小麦和玉米 季的平均温度分别为 10.7℃和 25.5℃. 土壤 WFPS 受降雨与灌溉的影响,小麦季和玉米季平均土壤孔 隙充水率(WFPS)分别为 43.76%和 50.08%,在 2015 年的 10 月 25 日、2016 年的 2 月 28 日、7 月 8 日、8 月 13 日、8 月 25 日出现峰值.

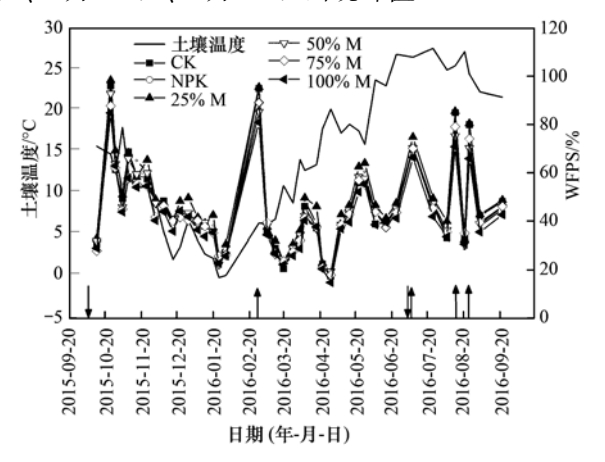


图 3 不同施肥处理 5 cm 土壤温度与 0~20 cm 土层土壤充水孔隙度

Fig. 3 Seasonal variations in soil temperature at 5 cm in water-filled pore spaces (WFPS) in the 0-20 cm soil layer with different fertilization treatments

#### 2.3 小麦/玉米轮作体系N<sub>2</sub>O的排放量

图 4 为 2015 年 10 月至 2016 年 9 月不同处理  $N_2$  O排放通量的动态变化。结果显示各处理 $N_2$  O排放通量有明显的季节变化,且变化规律基本一致,呈 双峰型变化,即施肥后 $N_2$  O排放出现峰值。另外,除 了施肥,降雨和灌水后也出现 $N_2$  O排放峰值。

小麦季 $N_2$ O排放通量在其生长季内呈明显下降趋势,各施肥处理变化幅度为  $-1.33 \sim 144.2$   $\mu g \cdot (m^2 \cdot h)^{-1}$ , CK 处理 $N_2$ O排放通量较其他施肥处理变化幅度较小为  $-1.33 \sim 23.6$   $\mu g \cdot (m^2 \cdot h)^{-1}$ . 除CK 和 100% M 处理外,其它施肥处理 $N_2$ O排放在播种后均出现了排放高峰,其中 NPK、25% M、50% M、75% M 处理峰值分别为 141.8、144.2、121.0、44.4  $\mu g \cdot (m^2 \cdot h)^{-1}$ ; CK 和 100% M 的排放高峰出现在灌水后.

在玉米生长前期,各处理均有极少的 $N_2O$ 排放. 在 6 月 23 ~ 6 月 29 日持续降雨后出现了一个小的排放峰,而在施肥(7 月 5 日)及灌水(7 月 7 日)后出现了 $N_2O$ 排放高峰,这时施肥处理 $N_2O$ 排放通量较 CK 高 5 ~ 20 倍. CK、NPK、25% M、50% M、75% M 和 100% M 处理峰值分别为 88.2、1433.1、1680.4、1800.1、686.5 和 430.1  $\mu$ g·( $m^2$ ·h)  $^{-1}$ . 随后一段时间 $N_2O$ 排放通量逐步降低,在施肥后 25 d 施肥处理 $N_2O$ 排放通量接近 CK 处理. 在所有施肥处理 $N_2O$ 排放通量接近 CK 处理. 在所有施肥处理中,玉米季 $N_2O$ 排放通量均高于小麦季.

各施肥处理小麦季、玉米季以及年N,O排放总

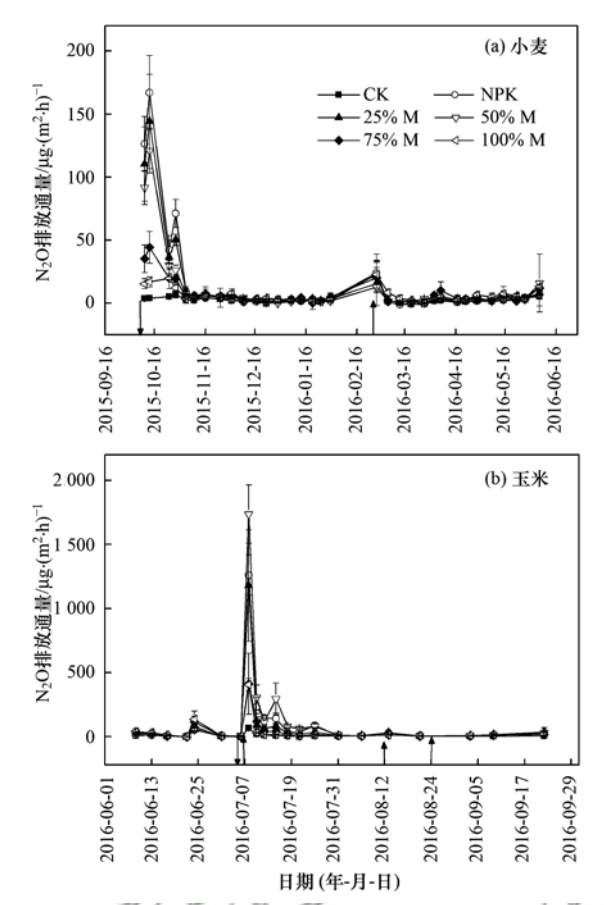
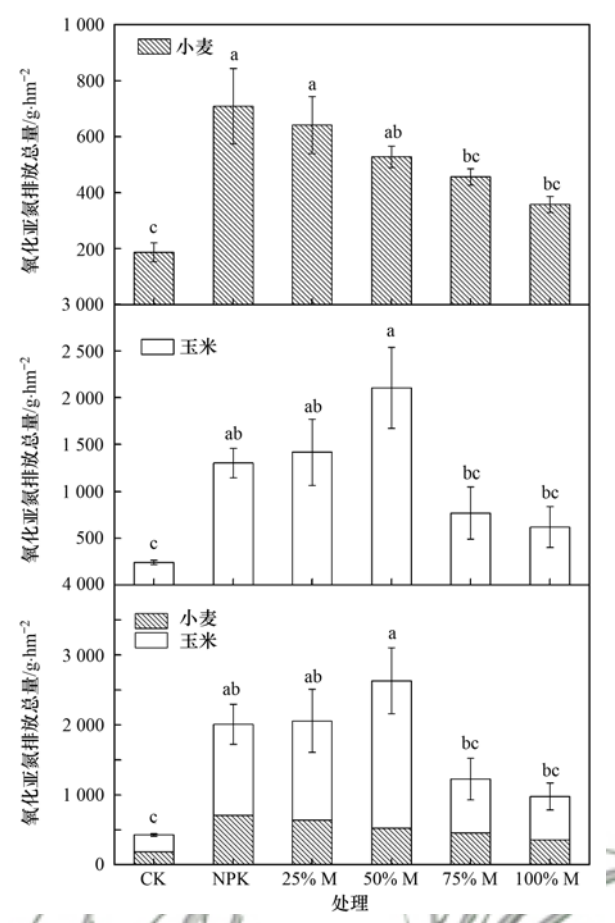


图 4 不同施肥处理小麦、玉米季 $N_2$ O排放通量动态变化 Fig. 4 Dynamics of soil  $N_2$ O emission flux with different fertilization treatments

量如图 5 所示. 小麦季不同处理 N,O 排放量为 187.4~709.3 g·hm<sup>-2</sup>, 其中 CK 最低, NPK 最高. NPK、25% M 及 50% M 处理N<sub>2</sub>O排放量显著高于 CK 处理, 较 CK 分别提高了 278.5%、242.6% 和 181.8%; 75% M 和 100% M 处理N, O排放量显著低于 NPK 和 25% M 处理,而与 CK 处理无显著差异. 玉米 季不同施肥处理N,O排放量在242.4~2104.1 g·hm<sup>-2</sup>之间,其中50% M 最高,CK 最低. NPK、25% M 和 50% M 处理的N<sub>2</sub>O排放量显著高于 CK 处理,分 别较 CK 处理提高了 437.2%、484.6%、768.1%. 而 75% M 和 100% M 处理N<sub>2</sub>O排放量显著低于 50% M 处理,而与 CK、NPK 和 25% M 处理无显著性差异. 总体来讲,小麦/玉米一个轮作年不同处理N2O排放 量为 429.8~2 632.1 g·hm<sup>-2</sup>, 有机替代处理与单施化 肥N,O排放量相似,不过单施化肥显著高于对照,而 75% M 和 100% M 处理与对照相似.

#### 2.4 作物产量

无论小麦、玉米以及一个轮作年总产量,施肥 处理均显著高于对照(图6). 小麦季产量变幅为

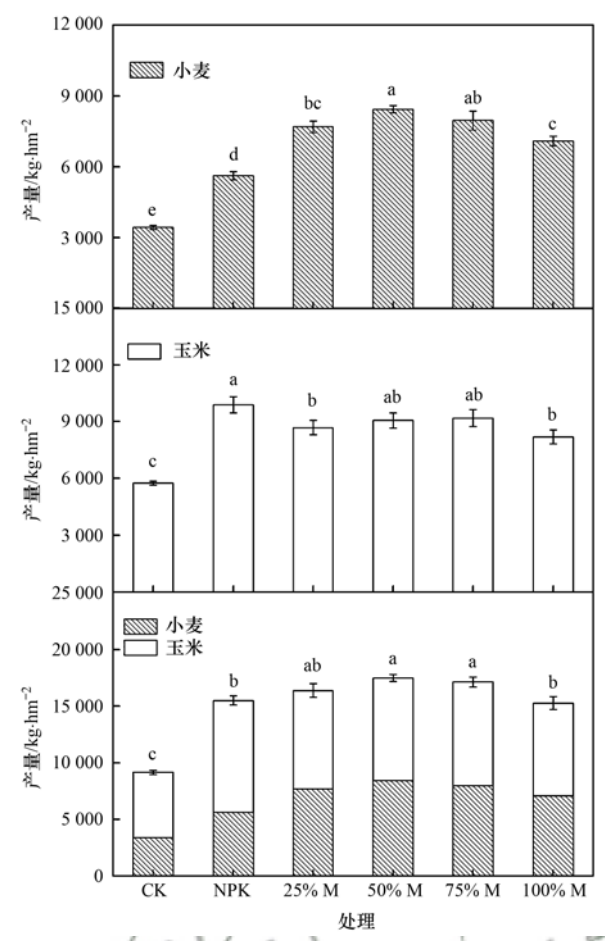


不同小写字母表示不同处理间在 5% 差异显著 图 5 不同施肥处理小麦和玉米季 $N_2$ O排放总量 Fig. 5 Total amount of  $N_2$ O emissions in wheat and maize growing season with different treatments

3 431~8 438 kg·hm<sup>-2</sup>,其中 CK 处理最低,50% M 处理小麦产量最高,其次是 75% M 处理(7965 kg·hm<sup>-2</sup>),且两者之间差异不显著(图 6). 另外,随 着有机氮替代比例的增加,冬小麦产量呈现先增加 后降低的趋势,并且施用有机肥的处理小麦产量均 显著高于单施化肥处理,增幅达 26.1%~50.0%. 夏玉米产量变幅为5735~9885 kg·hm<sup>-2</sup>,其中CK 处理最低,NPK 处理最高. 有机氮替代处理 50% M 和 75% M, 其产量与 NPK 相似, 而 25% M 和 100% M 处理玉米产量显著低于 NPK 处理. 小麦/玉米轮作 总产量变幅9 166~17 496 kg·hm<sup>-2</sup>. 其中 CK 处理 最低,50% M 处理最高,25% M 及 75% M 处理总产 量与50% M 处理差异不显著. 50% M 和75% M 处 理显著高于 NPK 处理,增幅分别为 12.8% 和 10.5%, 而 25% M 和 100% M 处理与 NPK 处理无显 著差异.

#### 2.5 N,O排放系数和排放强度

本试验各处理冬小麦季N,O直接排放系数介于



不同小写字母表示不同处理间差异显著(*P* < 0.05) 图 6 不同施肥处理小麦、玉米及总产量

Fig. 6 Wheat and maize yield with different fertilization treatments

 $0.05\% \sim 0.32\%$  之间(表 2). NPK 处理N<sub>2</sub>O的排放系数最高,显著高于 50% M、75% M 和 100% M 处理; 25% M 处理N<sub>2</sub>O的排放系数与 NPK 处理相似,并显著高于 100% M 处理. 玉米季N<sub>2</sub>O直接排放系数介于  $0.59\% \sim 2.07\%$  之间,50% M 处理N<sub>2</sub>O的排放系数最高,显著高于其它处理; 75% M 处理N<sub>2</sub>O的排放系数最高,显著高于其它处理; 75% M 处理N<sub>2</sub>O的排放系数与 25% M 处理相似,并显著高于 NPK 处理. 小麦/玉米一个轮作年N<sub>2</sub>O直接排放系数介于  $0.16\% \sim 0.64\%$  之间,NPK 处理N<sub>2</sub>O的排放系数与有机肥各处理间无明显差异. 50% M 处理N<sub>2</sub>O的排放系数最高,显著高于 75% M 和 100% M 处理.

试验各处理冬小麦季 $N_2$ O排放强度介于 50.5~139.6  $mg \cdot kg^{-1}$ 之间, NPK 处理最高, 且显著高于 CK、50% M、75% M及 100% M处理, 而与 25% M处理无明显差异. 玉米季 $N_2$ O排放强度介于 42.3~232.2  $mg \cdot kg^{-1}$ 之间,50% M处理 $N_2$ O的排放强度显著高于 CK、75% M和 100% M处理, 与 NPK 和 25% M处理相近. 小麦/玉米轮作年 $N_2$ O排放强度介于

 $46.9 \sim 155.6 \text{ mg·kg}^{-1}$ 之间,各施肥处理 $N_2$ O排放强度均显著高于 CK 处理,其中 50% M 处理显著高于

75% M 和 100% M 处理,与 NPK 和 25% M 处理无显著差异.

#### 表 2 不同施肥处理 $N_2O$ 的直接排放系数和排放强度 $^{1)}$

处理	小麦季排放系数	玉米季排放系数	小麦玉米排放系数	小麦季排放强度	玉米季排放强度	小麦玉米排放强度
处理	/%	/%	/%	/mg⋅kg <sup>-1</sup>	/mg•kg <sup>-1</sup>	/mg•kg <sup>-1</sup>
CK	_	_	_	54. 6b	42. 3 b	46.9 с
NPK	0.32 a	0.59 с	0.46 ab	139.6 a	140. 4 ab	140. 1ab
25% M	0. 22 ab	$0.87 \mathrm{bc}$	0.47 ab	83. 4ab	163. 3 ab	125. 7 ab
50% M	0.13 bc	2.07 a	0.64 a	62.6 b	232. 3a	155. 6a
75% M	$0.09   \mathrm{bc}$	1.18 b	0. 23 b	57. 4b	84. 0 b	71.6 b
100% M	0.05 с	_	0.16 b	50. 5 b	77. 3b	64. 7b

1)同列数据后不同小写字母表示处理之间在 P < 0.05 水平差异显著, "一"表示文章中没有相关数据

#### 2.6 N<sub>2</sub>O排放与土壤环境因素的关系

从表 3 看出, CK 处理小麦季 $N_2$ O排放通量与土壤湿度呈显著正相关(P < 0.01),与土壤 $NH_4^+$ -N的浓度呈显著负相关(P < 0.05);而玉米季与土壤因素都没有相关性;小麦/玉米轮作年 CK 处理 $N_2$ O排放通量与土壤湿度和土壤温度均呈显著正相关(P < 0.05). NPK 处理小麦季 $N_2$ O排放通量与土壤因素无显著相关性;玉米季 $N_2$ O排放通量与土壤湿度和土壤 $NO_3^-$ -N浓度呈显著正相关(P < 0.01);与其他土壤因素无相关性;小麦/玉米轮作年与玉米季相似. 25% M 处理小麦季 $N_2$ O排放通量与土壤各因素无相关性;玉米季与土壤 $NO_3^-$ -N浓度呈显著正相关(P < 0.01),与其他土壤因素没有相关性;小麦/

玉米轮作年 $N_2$ O排放通量与土壤湿度和 $NO_3^-$ -N浓度呈显著正相关(P < 0.05). 50% M 处理小麦季 $N_2$ O 排放通量与土壤 $NO_3^-$ -N浓度呈显著正相关(P < 0.01);而玉米季 $N_2$ O排放通量与土壤因素无相关性;小麦/玉米轮作年 50% M 处理 $N_2$ O排放通量与土壤湿度和土壤 $NO_3^-$ -N浓度呈显著正相关(P < 0.01). 75% M处理小麦季 $N_2$ O排放通量与土壤湿度呈显著正相关(P < 0.05);玉米季 $N_2$ O排放通量与土壤湿度呈显著正相关(P < 0.05);玉米率 $N_2$ O排放通量与土壤湿度引土壤湿度和土壤 $NO_3^-$ -N浓度呈显著正相关(P < 0.01);小麦/玉米轮作年 $N_2$ O排放通量与土壤湿度和土壤 $NO_3^-$ -N浓度呈显著正相关(P < 0.05). 100% M 处理小麦季 $N_2$ O排放通量与土壤湿度和土壤 $NO_3^-$ -N浓度呈显著正相关(P < 0.05);玉米季 $N_2$ O排放通量与土壤湿度和土壤 $NO_3^-$ -N浓度呈显著正相关(P < 0.05);

表 **3** N<sub>2</sub> **O**通量与土壤环境因子的相关性<sup>1)</sup>

( a V   '	Table 3 Pear	son correlation coefficie	nts between N <sub>2</sub> O f	lux and the related environ	onmental factors	
处理	时期	土壤湿度	土壤温度	土壤孔隙充水度 (WFPS)	$NO_3^-$ -N	NH <sub>4</sub> -N
	小麦季	0.699 **	0.072	0.252	0.419	-0.520*
CK	玉米季	0.370	0.265	0.480	0.659	-0.422
	全年	0.474 **	0.335 *	0.068	0.288	-0.433
	小麦季	0.156	0.194	0.145	0.139	-0.254
NPK	玉米季	0.784 **	0.135	0.414	0.980 **	-0.188
	全年	0.791 **	0.232	0.120	0.883 **	-0.312
	小麦季	0.120	0.202	0.058	0.407	-0.230
25% M	玉米季	0.373	0.128	0.492	0.968 64 **	-0.294
	全年	0.335 09 *	0.214	0.138	0.914 65 **	-0.332
	小麦季	0.096	0.225	-0.013	0.63163**	-0.290
50% M	玉米季	0.395	0.107	0.450	0.575	-0.153
	全年	0.395 97 **	0.274	0.051	0.5914**	-0.271
	小麦季	0.39442*	0.193	0.202	0.334	-0.248
75% M	玉米季	0.335	0.142	0.551	0.9405 **	-0.274
	全年	0.355 58 *	0.246	0.055	0.864 67 **	-0.304
	小麦季	0.347 87 *	0.266	0.69002**	0.038	-0.037
100% M	玉米季	0.371	0.258	0.518	0.98047 **	-0.346
	全年	0.363 02 **	0.249	0.053	0.81873 **	-0.373
	小麦季	0.21872	0.21435	0.07297	0.65677**	-0.18760
全处理	玉米季	0.81835 **	0.13923	0.47622	0.975 65 **	-0.277 17
	全年	0.82276**	0.24849	0.08463	0.89748**	-0.33745

<sup>1) \*</sup>表示 P < 0.05 显著相关, \*\*表示 P < 0.01 极显著相关

与土壤 $NO_3^-$ -N浓度呈显著正相关(P < 0.01);小麦/玉米轮作年 $N_2O$ 排放通量与土壤湿度和 $NO_3^-$ -N浓度呈显著正相关(P < 0.01).所有处理小麦季 $N_2O$ 排放通量与土壤 $NO_3^-$ -N浓度呈显著正相关(P < 0.01);玉米季 $N_2O$ 排放通量与土壤湿度和土壤 $NO_3^-$ -N浓度呈显著正相关(P < 0.01);小麦/玉米轮作年 $N_2O$ 排放通量与土壤湿度和 $NO_3^-$ -N浓度呈显著正相关(P < 0.01).

#### 3 讨论

农田生态系统N2O排放主要源于土壤氮素的硝 化和反硝化作用,施肥、灌溉、耕作、土壤理化特性 以及气候的季节性变化等直接影响土壤的硝化、反 硝化过程, 是引起农田土壤N,O排放季节变化的重 要因子[24,25]. 本试验也显示N,O排放与土壤含水量 以及硝态氮含量呈显著正相关,充分显示降雨、灌 溉以及施肥对N,O排放的影响. Wang 等[26] 在华北 平原河北栾城的研究也表明, 夏玉米生长季的N,0 排放高峰主要是发生在施肥、灌水或者降雨之后. 土壤水分通过影响硝化与反硝化过程而影响农田 N,0的生成速率,并通过影响N,0在土壤中的扩散 与还原速率而影响农田N,O的排放<sup>[27]</sup>. 通常,土壤 含水量较低的情况下N,O的产生主要来自于硝化过 程,土壤含水量较高时N,0主要通过反硝化过程产 生,但当土壤含水量既能促进硝化又能促进反硝化 过程时,N<sub>2</sub>0生成与排放量会达到最大值<sup>[28,29]</sup>. 另 外,有研究指出N,O排放通量与土壤温度呈显著正 相关或指数相关[30,31]. 但是本试验发现土壤温度与 N,O排放无显著相关性(除 CK 处理轮作年之外), 这可能与当地气候,施肥、灌溉与降雨等因素的综 合作用掩盖了温度的效应有关.

总体而言,本试验小麦/玉米轮作一年,结果表明N<sub>2</sub>O排放呈现为化肥高于有机肥.目前,对于施用有机肥影响土壤N<sub>2</sub>O排放的报道较多,但结论不一. 董玉红等<sup>[32]</sup>的研究表明,在等氮量的情况下,化肥配合有机肥施用的土壤N<sub>2</sub>O 排放通量大于单施化肥处理;另有研究表明,等氮条件下施用化肥、有机肥(秸秆和饼肥进行堆肥)和1/2 化肥+1/2 有机肥,处理间N<sub>2</sub>O排放通量的差异不显著<sup>[17]</sup>. 还有研究指出,等氮量施肥条件下,施用猪粪相比于施用化肥能减少农田N<sub>2</sub>O的排放<sup>[18]</sup>. 有机肥施用增加N<sub>2</sub>O排放可能与有机肥增加土壤有机质含量,促进微生物活动有关<sup>[33]</sup>. 当等碳量施用时,N<sub>2</sub>O的排放

主要受外源氮供应水平的制约; 而当有机肥料等氮 量施用时, N<sub>2</sub>O排放主要受外源碳供应水平的制 约[34]. 可见,有机肥替代化肥不仅提供了微生物活 动所需能量,而且改变了氮素输入形态. 不同研究 报道结果的差异性可能与土壤 C/N 比不同有关,从 而影响微生物活动,影响硝化、反硝化过程,最终影 响N<sub>2</sub>O的生成与排放. 有机肥施用无疑可以增加土 壤有机碳的含量,较单施化肥处理增加了土壤 C/N 比,在一定程度上抑制了硝化作用,这也反映在本文 有机肥处理土壤硝态氮含量低于化肥处理,由此可 能减少了硝化作用过程N,O的排放量[35];同时由于 土壤硝态氮含量总体低于化肥处理(图2),因而也 减少硝态氮反硝化的底物浓度,进一步限制了N,O 生成与排放. 另外,有机肥还为反硝化细菌提供能 量,促使N,O进一步还原为N,,进而也减少了N,O排 放[36]. 不过本试验各处理施磷量随着有机替代比 例增加而增加,钾素投入差异较小(表1),据报道随 施磷量增加N2O排放量也增加[37~39],这意味着本文 有机替代处理N2O排放量仍然有进一步降低的空 间. 因此,有机替代应该同时考虑氮、磷替代,这样 不仅可以显著减少N<sub>2</sub>O排放量,而且能够高效合理 利用磷资源.

本研究结果显示小麦/玉米轮作体系N2O排放 系数为 0.16% ~ 0.64%, 与刘韵等[16] 在紫色土壤上 冬小麦/夏玉米轮作N2O排放系数的研究结果相似 (0.21%~0.63%),也与郝耀旭[23]在关中埁土上冬 小麦/夏玉米轮作N,O排放系数的结果(0.72%~ 0.83%)相近. 本文夏玉米季N2O排放系数高于刘 运通等[40]在春玉米试验的结果(0.27%~0.55%), 也高于翟振等[41]报道有机无机肥料配施春玉米农 田N,O 的排放系数(0.12%~0.49%). 这主要与本 研究有机肥均在小麦季施用有关. 上述中国作物体 系N,O排放系数均低于 IPCC 推荐值 1% [42],如果按 照 IPCC 推荐排放系数计算,将明显高估我国农田 的N<sub>2</sub>O排放量. 另外,本文结果也表明有机氮替代 比例大于50%可以显著降低N2O的排放强度. 这与 有机氮替代比例在50%~75%时,作物产量显著高 于化肥处理, 而N2O排放量低于化肥处理有关. 郝 耀旭等[23]在陕西关中楼土冬小麦/夏玉米轮作体系 也报道了有机无机配施较 NPK 处理降低了N,O的 排放强度. 李燕青等[43]的研究表明施氮量为 120 kg·hm<sup>-2</sup>时,有机肥氮处理的N,O排放强度高于化肥 氮处理,而在高于120 kg·hm<sup>-2</sup>氮水平下,有机氮处 理的 $N_2$ O排放强度均低于化肥氮处理,作者认为这种结果的主要原因是施氮量为 120 kg·hm<sup>-2</sup>的有机肥处理,其有机碳投入较低有关. 因此,适量有机肥替代是保证作物产量、实现 $N_2$ O减排、解决有机肥环境污染问题的重要途径.

#### 4 结论

本研究通过**楼**土小麦/玉米一个轮作年不同有机氮替代比例下作物产量以及 $N_2$ O排放的响应,发现无论有机肥还是化肥均会增加 $N_2$ O的排放量,但是随有机氮替代比例的增加, $N_2$ O的排放量呈逐渐减少趋势,特别是有机氮替代 75% 和 100% 较单施化肥降低 $N_2$ O排放量及排放系数. 不过小麦/玉米一个轮作年总产量为有机氮替代 50% 和 75% 显著高于单施化肥. 综合考虑,埃土小麦/玉米轮作体系有机氮替代 75% 最好,可以保证作物产量、实现 $N_2$ O减排. 但是由于试验只进行了一年,在长期有机替代过程中,作物产量以及 $N_2$ O减排的效应如何,还需进一步研究.

#### 参考文献:

- [1] 彭欢. 低碳经济视角下我国城市土地利用研究[D]. 长沙; 湖南大学, 2010. Peng H. The research on urban land utilization in the view of low
  - carbon economy[D]. Changsha: Hunan University, 2010.
- [2] IPCC. Climate change 2007; mitigation, contribution of working group III to the fourth assessment report of the Intergovernmental Panel on climate change [R]. Cambridge: Cambridge University Press, 2007. 499-532.
- [3] 国家发展和改革委员会. 中华人民共和国气候变化初始国家信息通报[M]. 北京: 中国计划出版社, 2004.
- [4] Cui Z L, Chen X P, Zhang F S. Current nitrogen management status and measures to improve the intensive wheat-maize system in China[J]. Ambio, 2010, 39(5-6): 376-384.
- [5] 寇长林,巨晓棠,张福锁.三种集约化种植体系氮素平衡及 其对地下水硝酸盐含量的影响[J].应用生态学报,2005, 16(4):660-667.
  - Kou C L, Ju X T, Zhang F S. Nitrogen balance and its effects on nitrate-nconcentration of groundwater in threeintensivecropping systems of North China[J]. Chinese Journal of Applied Ecology, 2005, 16(4): 660-667.
- [6] 常艳丽,刘俊梅,李玉会,等.陕西关中平原小麦/玉米轮作体系施肥现状调查与评价[J].西北农林科技大学学报(自然科学版),2014,42(8):51-61.

  Chang Y L, Liu J M, Li Y H, et al. Investigation and evaluation of fertilization under winter wheat and summer maize rotation system in Guanzhong Plain, Shaanxi Province [J]. Journal of northwest A&F University (Natural Science Edition), 2014,42 (8):51-61.
- [7] Zhou J Y, Gu B J, Schlesinger W H, et al. Significant accumulation of nitrate in Chinese semi-humid croplands [J]. Scientific Reports, 2016, 6: 25088.
- [8] Hu K L, Huang Y F, Li H, et al. Spatial variability of shallow

- groundwaterlevel, electrical conductivity and nitrate concentration, and risk assessment of nitrate contamination in North China Plain [J]. Environment International, 2005, 31 (6): 896-903.
- [9] 高旺盛,黄进勇,吴大付,等.黄淮海平原典型集约农区地下水硝酸盐污染初探[J].中国生态农业学报,1999,7(4):41-43.
  - Gao W S, Huang J Y, Wu D F, et al. Investigation on nitrate pollution in ground water at intensive agricultural region in Huanghe-huaihe-haihe Plain [J]. Eco-Agriculture Research, 1999, 7(4): 41-43.
- [10] Cui Z L, Wang G L, Yue S C, et al. Closing the N-use efficiency gap to achieve food and environmental security [J]. Environmental Science & Technology, 2014, 48 (10): 5780-5787.
- [11] Rasmussen P E, Goulding K W T, Brown J R, et al. Long-term agroecosystem experiments: assessing agricultural sustainability and global change [J]. Science, 1998, 282 (5390): 893-896.
- [12] Fan M S, Shen J B, Yuan L X, et al. Improving crop productivity and resource use efficiency to ensure food security and environmental quality in China[J]. Journal of Experimental Botany, 2012, 63(1): 13-24.
- [13] Misselbrook T H, Menzi H, Cordovil C. Preface-Recycling of organic residues to agriculture; agronomic and environmental impacts [J]. Agriculture, Ecosystems & Environment, 2012, 160: 1-2.
- [14] Rosegrant M W, Koo J, Genacchi N, et al. Food security in a world of natural resource scarcity: the role of agricultural technologies [M]. Washington, DC: International Food Policy Research Institute (IFPRI), 2014.
- [15] 潘媛晴, 吕景智. 大气中甲烷和氧化亚氮排放量与有机成分和无机成分的关系[J]. 辽宁大学学报(自然科学版), 2016, 43(3): 272-276.
  - Pan Y Q, Lv J Z. The effect of organic and inorganic fertilizers onemissions of methane and nitrous oxide [J]. Journal of Liaoning University (Natural Sciences Edition), 2016, 43(3): 272-276.
- [16] 刘韵, 柳文丽, 朱波. 施肥方式对冬小麦—夏玉米轮作土壤 N<sub>2</sub> O排放的影响[J]. 土壤学报, 2016, **53**(3): 735-745. Liu Y, Liu W L, Zhu B. Effect of fertilization regime on soil N<sub>2</sub> O emission from upland field under wheat-maize rotation system[J]. Acta Pedologica Sinica, 2016, **53**(3): 735-745.
- [17] 孟磊,蔡祖聪,丁维新. 长期施肥对华北典型潮土 N 分配和 N<sub>2</sub> O排放的影响[J]. 生态学报, 2008, **28**(12): 6197-6203. Meng L, Cai Z C, Ding W X. Effects of long-term fertilization on N distribution and N<sub>2</sub>O emission in fluvo-aquei soil in North China[J]. Acta Ecologica Sinica, 2008, **28**(12): 6197-6203.
- [18] Vallejo A, Skiba U M, García-Torres L, et al. Nitrogen oxides emission from soils bearing a potato crop as influenced by fertilization with treated pig slurries and composts [J]. Soil Biology and Biochemistry, 2006, 38(9): 2782-2793.
- [19] Zhang S L, Yang X Y, Wiss M, et al. Changes in physical properties of a loess soil in China following two long-term fertilization regimes [J]. Geoderma, 2006, 136 (3-4): 579-587.
- [20] Yang X Y, Ren W D, Sun B H, et al. Effects of contrasting soil management regimes on total and labile soil organic carbon fractions in a loess soil in China [J]. Geoderma, 2012, 177-178: 49-56.

- [21] Yang X Y, Sun B H, Zhang S L. Trends of yield and soil fertility in a Long-term wheat-maize system [J]. Journal of Integrative Agriculture, 2014, 13(2): 402-414.
- [22] Gu J X, Yuan M X, Liu J X, et al. Trade-off between soil organic carbon sequestration and nitrous oxideemissions from winter wheat-summer maize rotations; implications of a 25-year fertilization experiment in Northwestern China[J]. Science of the Total Environment, 2017, 595: 371-379.
- [23] 郝耀旭, 刘继璇, 袁梦轩, 等. 长期定位有机物料还田对关中平原冬小麦-玉米轮作土壤N<sub>2</sub>O排放的影响[J]. 环境科学, 2017, **38**(6): 2586-2593.

  Hao Y X, Liu J X, Yuan M X, et al. Effects of long-term organic amendments on soil N<sub>2</sub>O emissions from winter wheatmaize cropping systems in the Guanzhong Plain [J]. Environmental Science, 2017, **38**(6): 2586-2593.
- [24] 郑循华, 王明星, 王跃思, 等. 温度对农田N<sub>2</sub>O产生与排放的影响[J]. 环境科学, 1997, **18**(5): 1-5.

  Zheng X H, Wang M X, Wang Y S, *et al.* Impacts of temperature on N<sub>2</sub>O production and emission[J]. Environmental Science, 1997, **18**(5): 1-5.
- [25] 封克,殷士学. 影响氧化亚氮形成与排放的土壤因素[J]. 土壤学进展,1995, **23**(6): 35-42. Feng K, Yin S X. Factors affecting N<sub>2</sub>O formation and emission from soils[J]. Progress in Soil Science, 1995, **23**(6): 35-42
- [26] Wang S B, Song W Z, Su W H, et al. Measurements of atmospheric N<sub>2</sub>O concentration and its emission fluxes from soil in China [J]. Science in China, 1995, 38(9): 1101-1107.
- [27] 张玉铭,胡春胜,张佳宝,等。农田土壤主要温室气体(CO<sub>2</sub>、CH<sub>4</sub>、N<sub>2</sub>O)的源/汇强度及其温室效应研究进展[J].中国生态农业学报,2011,**19**(4): 966-975.

  Zhang Y M, Hu C S, Zhang J B, et al. Research advances on source/sink intensities and greenhouse effects of CO<sub>2</sub>, CH<sub>4</sub> and N<sub>2</sub>O in agricultural soils [J]. Chinese Journal of Eco-Agriculture, 2011, **19**(4): 966-975.
- [28] Wolf I, Russow R. Different pathways of formation of N<sub>2</sub>O, N<sub>2</sub> and NO inblack earth soil[J]. Soil Biology and Biochemistry, 2000, **32**(2): 229-239.
- [29] Anderson L, Parsons R, Hopkins D W. An Open Gas-Flow System for Investigating the Response of Nitrous Oxide Fluxes from Soil Cores to Different Oxygen Concentrations [A]. In: Van Cleemput O, Hofman G, Vermoesen A, (Eds). Progress in Nitrogen Cycling Studies [M]. Dordrecht, Netherlands: Springer, 1996. 507-511.
- [30] 段智源, 李玉娥, 万运帆, 等. 不同氮肥处理春玉米温室气体的排放[J]. 农业工程学报, 2014, **30**(24): 216-224.

  Duan Z Y, Li Y E, Wan Y F, *et al.* Emission of green house gases for spring maize ondifferent fertilizer treatments [J]. Transactions of the Chinese Society of Agricultural Engineering, 2014, **30**(24): 216-224.
- [31] 石洪艾,李禄军,尤孟阳,等. 不同土地利用方式下土壤温度与土壤水分对黑土N<sub>2</sub>O排放的影响[J]. 农业环境科学学报,2013,32(11):2286-2292.

  Shi H A, Li L J, You M Y, et al. Impact of soil temperature and moisture on soil N<sub>2</sub>O emission from mollisols under different landuse types[J]. Journal of Agro-Environment Science, 2013, 32(11):2286-2292.
- [32] 董玉红,欧阳竹,李运生,等.不同施肥方式对农田土壤 CO,和N,O排放的影响[J].中国土壤与肥料,2007,(4):

- 34-39.
- Dong Y H, Ouyang Z, Li Y S, et al. Influence of different fertilization on  $CO_2$  and  $N_2O$  fluxes from gricultural soil [J]. Soils and Fertilizers Sciences in China, 2007, (4): 34-39.
- [33] Li C S, Frolking S, Butterbach-Bahl K. Carbon sequestration in arable soils is likely to increase nitrous oxide emissions, offsetting reductions in climate radiative forcing [J]. Climatic Change, 2005, 72(3): 321-338.
- [34] Chadwick D R, Pain B F, Broo kman S K E. Nitrous oxide and methane emissions following application of animal manures to grassland[J]. Journal of Environmental Quality, 2000, 29(1): 277-287
- [35] 勾继,郑循华,王明星,等. 华东地区稻麦轮作农田生态系统 N<sub>2</sub>O排放的模拟研究[J]. 大气科学, 2000, **24**(6): 835-842. Gou J, Zheng X H, Wang M X, *et al.* A simulating study of N<sub>2</sub>O emission from a rice-wheat rotation ecosystem in Southeast China[J]. Chinese Journal of Atmospheric Sciences, 2000, **24** (6): 835-842.
- [36] Azam F, Müller C, Weiske A, et al. Nitrification and denitrification as sources of atmospheric nitrous oxide-role of oxidizable carbon and applied nitrogen[J]. Biology and Fertility of Soils, 2002, 35(1): 54-61.
- [37] 黄树辉,蒋文伟,吕军,等. 氮肥和磷肥对稻田N2O排放的影响[J]. 中国环境科学,2005,25(5):540-543.

  Huang S H, Jiang W W, Lü J, et al. Influence of nitrogen and phosphorus fertilizers on N2O emissions in rice fields[J]. China Environmental Science, 2005, 25(5):540-543.
- [38] White J R, Reddy K R. Influence of nitrate and phosphorus loading on denitrifying enzyme activity in everglades wetland soils [J]. Soil Science Society of America Journal, 1999, 63 (6): 1945-1954.
- [39] Jarecki M K, Parkin T B, Chan A S K, et al. Cover crop effects on nitrous oxide emission from a manure-treated Mollisof [J]. Agriculture, Ecosystems & Environment, 2009, 134(1-2): 29-35.
- [40] 刘运通,李玉娥,万运帆,等. 不同氮磷肥施用对春玉米农田N<sub>2</sub>O排放的影响[J]. 农业环境科学学报,2011,30(7):1468-1475.
   Liu Y T, Li Y E, Wan Y F, et al. Nitrous oxide emissions from
  - spring-maize field under the application of different nitrogen and phosphorus fertilizers [J]. Journal of Agro-Environment Science, 2011, 30(7): 1468-1475.
- [41] 翟振, 王立刚, 李虎, 等. 有机无机肥料配施对春玉米农田 N<sub>2</sub>O排放及净温室效应的影响[J]. 农业环境科学学报, 2013, **32**(12): 2502-2510.

  Zhai Z, Wang L G, Li H, *et al.* Nitrous oxide emissions and net Greenhouse effect from spring-maize field as influenced by combined application of manure and inorganic fertilizer [J]. Journal of Agro-Environment Science, 2013, **32**(12): 2502-2510.
- [42] IPCC. Guidelines for national gas inventories [R]. Kanagawa, Japan: Institutefor Global Environmental Strategies, 2006.
- [43] 李燕青, 唐继伟, 车升国, 等. 长期施用有机肥与化肥氮对华北夏玉米 $N_2O$ 和 $CO_2$ 排放的影响[J]. 中国农业科学, 2015, **48**(21): 4381-4389.
  - Li Y Q, Tang J W, Che S G, et al. Effect of organic and inorganic fertilizer on the emission of CO<sub>2</sub> and N<sub>2</sub>O from the summer maize field in the North China Plain [J]. Scientia Agricultura Sinica, 2015, **48**(21): 4381-4389.

## **HUANJING KEXUE**

Environmental Science (monthly)

Vol. 39 No. 1 Jan. 15, 2018

## **CONTENTS**

CONTENIS	
Variation of O <sub>3</sub> Concentration in Different Regions of Beijing from 2006-2015	····· WANG Zhan-shan, LI Yun-ting, AN Xin-xin, et al. (1)
Source Apportionment of Black Carbon Aerosol in the North Suburb of Nanjing	
Seasonal Characteristics and Ecological Risk Assessment of Heavy Metals in PM <sub>10</sub> Around Electroplating Plants	····· ZHAO Zhen-li, ZHAO Wei-tuo, HUANG Ting, et al. (18)
Characteristics of Organic and Elemental Carbon in PM <sub>10</sub> and PM <sub>2.5</sub> in Yulin City, Guangxi	·· HUANG Jiong-li, CHEN Zhi-ming, MO Zhao-yu, et al. (27)
Concentrations and Compositions of Different Forms of Nitrogen and Phosphorus in Atmospheric Aerosols in the Qingdao Coastal Regi	ion and over the Yellow and Bohai Sea
(-8)	······ ZHANG Rui-feng, QI Jian-hua, DING Xue, et al. (38)
Air Quality Subarea Management: A case study of Guangdong Province	····· YANG Liu-lin, LI Min-hui, LIAO Cheng-hao, et al. (49)
Remote Sensing Identification of Urban Black-Odor Water Bodies Based on High-Resolution Images: A Case Study in Nanjing	WEN Shuang, WANG Qiao, LI Yun-mei, et al. (57)
Simulation of Nitrate Isotopic ( $\delta^{15}N$ and $\delta^{18}0$ ) by Coupling the Hydrology and Transport Processes Described by the SWAT Model	····· WANG Kang, RAN Ning, LIN Zhong-bing, et al. (68)
Estimation of and Control Strategies for Pollution Loads from Non-point Sources in the Chenghai Watershed	····· CHEN Xue-kai, LIU Xiao-bo, PENG Wen-qi, et al. (77)
Distribution Characteristics and Health Risk Assessment of Metals in Drinking Water Sources from the Luhun Reservoir	
Distribution Characteristics and Health Risk Assessment of Antibiotics in the Water Supply System in Tianjin	
Organic Distribution Characteristics and Influence on Drinking Water Quality in the Typical Water Sources for Towns in the Southwes	st Hilly Area of China
8 ()	
Health Risk Evaluation of Organochlorine and Organophosphorous Pesticides in Groundwater in Beijing	
Pollution Status and Risks of Dioxin-like Polychlorinated Biphenyls in the Soil of the Yellow River	·············· YAO Hong, LU Shuang, ZHANG Xu, et al. (123)
Effects of Flooding and Drying on the Transformation of Soil Inorganic Phosphorus in the Water-Level-Fluctuating Zone of the Three	Gorges Reservoir China
221ccc of 1 county and 25,112, or the 1 cancer and 2 course 1 county and 2 course 1 county 2 course 1 course 2 course 1 course 2	ZHOU Jian, LI Chun-hui, ZHANG Zhi-yong, et al. (130)
Effect of Phosphate on the Ammonium Bemoval Performance of Iron-Manganese Co-oxide Film in Surface Water Treatment	
ZHU	O Rui-shuang, HUANG Ting-lin, ZHANG Rui-feng, et al. (137)
Enhanced Photoelectrocatalytic Oxidation of Cu(CN) $\frac{2}{3}$ and Synchronous Cathodic Deposition of Cu by Peroxydisulfate	
Using HKUST-1 as a Template for Copper Oxides Preparation to Activate Peroxymonosulfate for RhB Degradation	PU Jia-yi, WAN Jin-quan, WANG Yan, et al. (152)
Evaluation of Performance of an Aminated Rosin-based Resin for Adsorption of Norfloxacin from Aqueous Solutions	MA Ya-hong, HUANG Wan-ting, DIAO Kai-sheng, et al. (161)
Arsenic (V) Removal by Granular Adsorbents Made from Backwashing Residuals from Biofilters for Iron and Manganese Removal	ZENG Hui-ping, LÜ Sai-sai, YANG Hang, et al. (170)
Arsenic Adsorption and Its Species on Ferrihydrite and Ferrihydrite Colloid	MA Yu-ling, MA Jie, CHEN Ya-li, et al. (179)
Comparison of Amphoteric-Cationic and Amphoteric-Anionic Modified Magnetic Bentonites: Characterization and Sorption Capacity of	f Phenol
	····· REN Shuang, MENG Zhao-fu, WANG Teng, et al. (187)
Pollution Characteristics of Parabens in Typical Sewage Wastewater	······· ZHAO Xue, ZHANG Zi-feng, ZHU Fu-jie, et al. (195)
Influence of Hydraulic Retention Time on the Treatment of Polluted River Water by an Activated Carbon Rotating Biological Contactor	
Removal and Influence of Ciprofloxacin in a Membrane Bioreactor	DAI Qi, LIU Rui, SHU Xiao-ming, et al. (212)
Operation of the AAO Process Under Low Dissolved Oxygen Conditions and Its Simulation	CAO Te-te, WANG Lin, LI Yong-mei (219)
Inhibitory Effects of Phosphate and Recovery on a Nitrification System	GU Cheng-wei, CHEN Fang-min, LI Xiang, et al. (227)
Effect of Carbon Source on Lab-scale SAD Process in a Wastewater Treatment Plant	LI Dong, ZHAO Shi-xun, WANG Jun-an, et al. (232)
Effect of Volume Loading Rate (VLR) on Denitrifying Phosphorus Removal by the ABR-MBR Process	LÜ Liang, YOU Wen, WEI Jia-min, et al. (239)
Combined Process of DNBF-O <sub>3</sub> -GAC for Nitrogen and Phosphorus and Metabolite Advanced Removal	· ZHONG Li-van, HAO Rui-xia, WANG Wei-dong, et al. (247)
Influence of Operating Modes for the Alternating Anoxic/Oxic Process on Biological Nitrogen Removal and Extracellular Polymeric St	ubstances of Activated Sludge
	SUN Hong-wei, CHEN Cui-zhong, WU Chang-feng, et al. (256)
Effects of Nanoscale Zero-valent Iron (nZVI) on Denitrifying Performance of an Upflow Granular Sludge Bed Reactor	ZHOU Feng, WANG Fan-fan, QIAN Fei-yue, et al. (263)
Influence on Desulfurization Efficiency and Interactions of Fe/S and pH During H <sub>2</sub> S in situ Depression of High Solid Anaerobic Dige	
Analysis of Storage Sludge Composition Characteristics and Evolutionary Regularity in the Hunhe River Basin	
Enhancement of Anaerobic Methane Production by Removal of Organic-bonding Metals from Sewage Sludge	
Comparison of Different Leaching Methods for Heavy Metals in Sludge Fly Ash and Comprehensive Toxicity Evaluation	
Diurnal Variations of CH <sub>4</sub> and N <sub>2</sub> O Fluxes from the Drained Aquaculture Pond in the Minjiang River Estuary During Early Winter	
Effects of Three Soil Amendments on Greenhouse Gas Emissions From Corn Fields in the Hetao Irrigation District	
Effect of Organic Manure Substitution of Synthetic Nitrogen on Crop Yield and N2O Emission in the Winter Wheat-Summer Maize Ro	
Dynamics of Rice Photosynthesized Carbon Input and Its Response to Nitrogen Fertilization at the Jointing Stage: 13C-CO <sub>2</sub> Pulse-labe	ling ·····
	···· CHEN Shan, ZHU Zhen-ke, YUAN Hong-zhao, et al. (331)
Profile Distribution of Soil Organic and Inorganic Carbon Under Different Land Use Types in the Loess Plateau of Northern Shaanxi	
Effect of Biochar on Ammonia Volatilization from Soils of Different Surface Conditions	
Effects of Straw and Biochar Return in Soil on Soil Aggregate and Carbon Sequestration	
Assessment of the Availability of Soil Copper and Related Influencing Factors at a County Scale	LI lin-fen, OU Ming-kai, LIU Gang, et al. (363)
Application of the LUR Model in the Prediction of Spatial Distributions of Soil Heavy Metals	
Pollution Characteristics and Source Apportionment of Polycyclic Aromatic Hydrocarbons in Soils of Shenyang North New Area	
Passivation of Simulated Pb- and Cd-Contaminated Soil by Applying Combined Treatment of Phosphate, Humic Acid, and Fly Ash.	
Distribution and Accumulation of Cadmium in Paddy Soil and Rice Affected by Pollutant Sources Control and Improvement Measures	
Differences in Cd Accumulation in Typical Soils Under the Double Rice System	II Xin-yang TONG Iian WANG Shu-hing et al. (406)
Distribution Characteristics of Mercury in Reed Leaves from the Jiapigou Gold Mine in the Songhua River Upstream	
Effect of Nitrate Amendment on Soil Denitrification Activity and Anthracene Anaerobic Degradation	
Effects of Annate Amendment on Son Demantication Activity and Anninacene Anaerobic Degradation  Effects of Long-term Fertilization Regimes on Microbial Biomass, Community Structure and Activity in a Paddy Soil	
Analysis of Sulfate-Reducing and Sulfur-Oxidizing Prokaryote Community Structures in Marine Sediments with Different Sequencing T	
Analysis of Sunate-Acquicing and Sunur-Oxidizing Frokaryote Community Structures in marine Sequencing Sequencing (Sequencing Sequencing Se	
Seasonal and Spatial Variations of Microcystins and Their Relationships with Physiochemical and Biological Factors in Povang Lake	
Scales and Spatial valuations of street of sense and from federal samps with Thysrocentera and Brooglean Factors in Fryding Editor	······· YUAN Li-juan, LIAO Oje-gen, ZHANG Li, et al. (450)
Distribution of Multidrug-Resistant Bacteria and Antibiotic-Resistant Genes in Livestock Manures	
Influence of Air Pollution Control (APC) Systems and Furnace Type on the Characteristics of APC Residues from Municipal Solid W	aste Incinerators
The state of the Political Control (110) Operation and Palmace Type of the State Control (110) Political Control (110)	ZHANG Hua, YU Si-yuan, SHAO Li-ming, et al. (467)
	, ,